

Времена жизни уровней *pr* атома Ar

Уровень	Промежуточная связь		τ_{Jl}	Уровень	τ_{Jl}
	τ_r	τ_{rv}			
$4p [1/2]_1$	32.5	39.2	43.5	$7p [1/2]_1$	410
$4p [5/2]_3$	23.2	28.0	29.8	$7p [5/2]_3$	444
$4p [5/2]_2$	25.6	30.8	32.9	$7p [5/2]_2$	494
$4p [3/2]_1$	23.2	28.0	29.0	$7p [3/2]_1$	517
$4p [3/2]_2$	21.6	26.8	25.2	$7p' [3/2]_2$	464
$4p [1/2]_0$	18.5	22.3	23.7	$7p [1/2]_0$	375
$4p' [3/2]_1$	23.4	28.2	29.9	$7p [3/2]_1$	459
$4p' [3/2]_2$	22.6	27.3	33.2	$7p' [3/2]_2$	469
$4p' [1/2]_1$	21.0	25.3	29.3	$7p' [1/2]_1$	432
$4p' [1/2]_0$	17.5	21.1	23.6	$7p' [1/2]_0$	509
$5p [1/2]_1$	112	132	114	$8p [1/2]_1$	687
$5p [5/2]_3$	101	118	115	$8p [5/2]_3$	730
$5p [5/2]_2$	110	129	126	$8p [5/2]_2$	842
$5p [3/2]_1$	110	128	119	$8p [3/2]_1$	878
$5p [3/2]_2$	95.8	111	102	$8p [3/2]_2$	798
$5p [1/2]_0$	93.8	108	82.5	$8p [1/2]_0$	647
$5p' [3/2]_1$	105	123	122	$8p' [3/2]_1$	753
$5p' [3/2]_2$	105	122	126	$8p' [3/2]_2$	778
$5p' [1/2]_1$	102	118	126	$8p' [1/2]_1$	740
$5p' [1/2]_0$	95.0	109	107	$8p' [1/2]_0$	896
$6p [1/2]_1$	202	252	227		
$6p [5/2]_3$	201	248	249		
$6p [5/2]_2$	221	272	277		
$6p [3/2]_1$	239	293	281		
$6p [3/2]_2$	205	251	245		
$6p [1/2]_0$	244	291	192		
$6p' [3/2]_1$	209	257	266		
$6p' [3/2]_2$	213	262	281		
$6p' [1/2]_1$	212	261	278		
$6p' [1/2]_0$	228	274	274		

Для времен жизни τ_{Jl} , представленных в табл. 1 (для уровней с $n = 6 \div 9$), наблюдается, так же как и для атома неона [1], степенная зависимость. Показатель этой степенной зависимости очень близок к четырем. Для уровней *pr* (табл. 2, $n=6 \div 8$) степенная зависимость выполняется значительно хуже, однако в пределах 20% τ_{Jl} этих уровней укладываются на степенную зависимость с показателем, равным четырем.

Литература

- [1] Н. В. Афанасьев, П. Ф. Груздев. Опт. и спектр., 378, 38, 1975.
- [2] П. Ф. Груздев, А. В. Логинов. Опт. и спектр., 38, 411, 1975.
- [3] П. Ф. Груздев. Опт. и спектр., 20, 377, 1966.
- [4] Bates, A. Damgaard. Phil. Trans., A242, 101, 1949.

Поступило в Редакцию 29 августа 1973 г.

УДК 621.372 : 535

ОБ ОДНОЙ ПОГРЕШНОСТИ ПРИ ИЗМЕРЕНИИ КОНТУРА ЛИНИИ УСИЛЕНИЯ ЛАЗЕРА

C. B. Ротарь, B. C. Соловьев и B. B. Телегин

В настоящее время в спектроскопических исследованиях широкое распространение получили методы лазерной спектроскопии как линейной, так и величинной [1, 2], позволяющие достичь высокого разрешения при измерениях характеристик вещества, в частности форм контуров усиления или поглощения.

Одним из первых методов, применявшихся для измерения формы контура усиления лазера, был метод перемещения одного из зеркал открытого резонатора (рис. 1). При линейном перемещении зеркала Z_1 частота генератора Γ изменялась в соответствии

с приближенным равенством $\Delta L/L \approx \Delta v/v$, $\Delta v \approx \Delta L v/L$. Измеряя соотношение $\Delta L=f(U)$, где U — напряжение, подаваемое на элемент, перемещающий зеркало (обычно пьезокерамический преобразователь), можно было установить частотный масштаб на экране осциллографа O . Подавая затем на вертикальные пластины последнего сигнал, полученный с фотодетектора ΦD , получают зависимость $I(v)$, соответствующую форме контура усиления вещества.

Точность измерения параметров контура таким способом существенно зависит от целого ряда факторов, как например линейности напряжения U , точности измерения характеристики $\Delta L=f(U)$, линейности фотодетектора ΦD , уровня синхронизации осциллографа O и т. д., а также от добротностей резонатора и контура. Последнее обстоятельство явно следует из упрощенного выражения для частоты генерации квантового генератора [3]

$$\frac{v - v_x}{v_x} \approx \frac{Q_p}{Q_x} \frac{v_p - v}{v_p}, \quad (1)$$

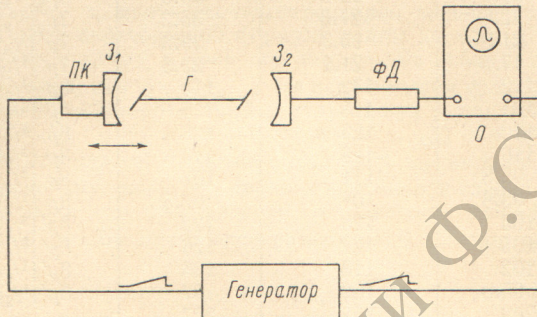


Рис. 1. Схема измерения формы контура усиления квантового генератора.

PK — пьезокерамический преобразователь, G — квантовый генератор, ΦD — фотодетектор, O — осциллограф, Z_1 , Z_2 — зеркала резонатора квантового генератора.

где v — частота генерации; v_x — частота, соответствующая максимуму контура усиления вещества; v_p — частота, соответствующая максимуму резонансной кривой резонатора; $Q_p = v_p/\Delta v_{p,0.5}$ — добротность резонатора; $Q_x = v_x/\Delta v_{x,0.5}$ — добротность линии.

После несложных преобразований можно получить

$$v - v_x \approx (v_p - v_x) \frac{\Delta v_x}{\Delta v_x + \Delta v_p}. \quad (2)$$

Таким образом, из (2) можно сделать следующие выводы.

1. Если $\Delta v_p \ll \Delta v_x$, то частота генерации и ее смещение точно соответствуют частоте и смещению собственной частоты резонатора. Это соотношение справедливо для линий оптического диапазона спектра, так что в этом случае погрешность может и не учитываться. Однако если на контуре имеются какие-либо особенности типа контрастного пичка [4], то погрешность их воспроизведения также может иметь место.

2. При исследовании колебательно-вращательных переходов в инфракрасной и субмиллиметровой области спектра добротность резонаторов уменьшается в соответствии с выражением $Q=2\pi v L/cT$, в то время как ширины контуров обычно уменьшаются. В связи с этим погрешности в измерении характеристик контура могут существенно возрастать. На рис. 2 приведено семейство зависимостей $v - v_x = \varphi(v_p - v_x)$ для различных $\Delta v_x/\Delta v_p = q$. Из рис. 2 следует, что уже при сравнимых добротностях ошибка в измерениях может достигать существенной величины.¹

Данный вывод иллюстрируется экспериментом, проделанным на субмиллиметровом лазере с длиной волны 0,337 мм. Открытый резонатор его был образован двумя зеркалами, одно из которых со 100%-м отражением можно было перемещать с помощью микрометрического винта параллельно оси резонатора, а второе имело отверстие $\varnothing 8$ мм для вывода излучения. Эквивалентные потери для основного типа колебания в этом резонаторе оценивались в $\sim 20 \div 25\%$, так что добротность его составляла

¹ Здесь не учитывается тот факт, что на самом деле выражение для частоты генерации газовых лазеров имеет значительно более сложный вид [6].

$$v - v_x = -\frac{c}{2\pi\mu_0 d} 0.28g(v_x) \exp\left[\frac{v_x - v}{0.6\Delta v_x}\right] \sin\left[\frac{v_x - v}{0.3\Delta v_x}\right], \quad (3)$$

где v , v_x , v_p — то же, что и в (1), в результате чего изменение погрешности измерения в зависимости от q и $v_p - v_x$ будет также значительно отличаться от рис. 2.

$\sim 6.3 \cdot 10^5$, в то время как добротность линии по предварительным оценкам [5] — не менее $1.8 \cdot 10^5$.

Измерялась ширина контура усиления вещества при перемещении глухого зеркала. В обычных условиях интенсивность излучения на выходе регистрировалась пироэлектрическим приемником. В результате измерений ширина контура усиления на полувысоте оказалась равной ~ 5.7 МГц (50 мкм перемещения зеркала на длине ~ 7 м).

Затем добротность резонатора была увеличена. Это было сделано следующим образом. За выходным отверстием лазера устанавливались проволочная решетка, изготовленная из позолоченной вольфрамовой проволоки $\varnothing 15$ мкм с шагом $\Delta d = 50$ мкм. Такая решетка обладает избирательным по поляризации максимальным отражением $R \approx 100\%$. Решетка устанавливалась таким образом, чтобы величина мощности, отражаемой в резонатор, была бы максимальной, так что эквивалентные потери на выходном зеркале существенно уменьшились.² Контролировалась выходная мощность, причем оказалось, что ее величина падала не более чем на 5% за счет поглощения в решетке. Контур линии измерялся таким же образом, как и ранее. Оказалось, что в этом случае ширина контура на полувысоте интенсивности соответствует перемещению зеркала ~ 35 мкм, т. е. ~ 4 МГц. Эта величина качественно совпадает с теоретическими расчетами, проделанными, исходя из характеристик генерирующей молекулы HCN и параметров плазмы в разряде.

Таким образом, при измерении характеристик контуров усиления лазеров, в особенности субмиллиметрового диапазона, необходимо учитывать погрешности за счет затягивания линии генерации контурами усиления и резонатора, если их добротности сравнимы по величине. Оценка по (2) показывает, что погрешность пренебрежимо мала ($\sim 1\%$), если $\Delta v_g / \Delta v_p \approx 10^2$.

Литература

- [1] В. И. Татаренков, А. Н. Титов, А. В. Успенский. Опт. и спектр., 28, 572, 1970.
- [2] А. П. Макаров. Опт. и спектр., 26, 341, 1969.
- [3] Г. Троуп. Квантовые генераторы и усилители. ИЛ, М., 1969.
- [4] Н. С. Вупе. The Radio and Electr. Engineer, 42, № 7, 1972.
- [5] В. А. Бондарев, А. Я. Лейкин, С. В. Ротарь. Сб. «Радиотехника», вып. 28, 1974.
- [6] Л. Аллен, Д. Джонс. Основы физики газовых лазеров. ИЛ, М., 1970.

Поступило в Редакцию 1 октября 1973 г.

УДК 535.37 : 545.8

ВЫЧИСЛЕНИЕ ИНТЕНСИВНОСТИ ОДНОФОНОННОЙ ПОЛОСЫ В СПЕКТРЕ ЛЮМИНЕСЦЕНЦИИ ЭКСИТОНОВ ВАНЬЕ—МОТТА ДЛЯ СЛУЧАЯ «ЗАПРЕЩЕННЫХ» «ОДНОЦЕНТРОВЫХ» ПЕРЕХОДОВ

B. Г. Федосеев

Недавно в спектрах люминесценции кристаллов закиси меди и серебра были экспериментально обнаружены полосы, обусловленные аннигиляцией $1S$ -экзитона, сопровождающейся рождением различных предельных колебаний решетки [1].

Cu_2O и Ag_2O представляют собой кристаллы с запрещенными в диопольном приближении «одноцентровыми» переходами между локализованными состояниями Ванье верхней валентной зоны и нижней зоны проводимости [2, 3]. Это приводит к новой частотной и температурной зависимости интенсивности однофононной полосы в спектре люминесценции по сравнению со случаем «разрешенных» «одноцентровых» переходов [4, 5].

² Добротность резонатора увеличилась при этом по крайней мере в 3—4 раза.

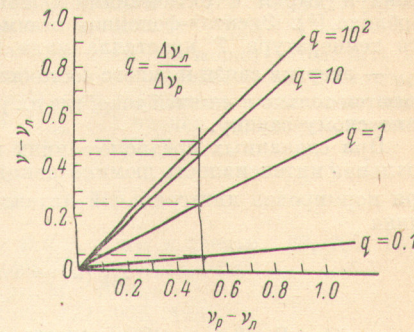


Рис. 2. Зависимость $(\nu - \nu_g)$ от $(\nu_p - \nu_g)$.

ν — частота генерации; ν_g — частота, соответствующая максимуму контура усиления вещества; ν_p — частота, соответствующая максимуму резонансной кривой резонатора.